

بررسی خواص مکانیکی و سازوکار شکست قطعات متالورژی پودر تهیه شده از فولادهای نیمه پیش آلیاژ شده*

حمید خرسند^(۱) حسن عبدالوس^(۲) مصطفی امیرجان^(۳)

چکیده

در این تحقیق، خواص مکانیکی و سازوکار شکست دو فولاد کم آلیاژ متالورژی پودر با باندهای نفوذی شامل *Distaloy DH* و *HP* مطالعه شده است. برای این منظور، نمونه‌های استاندارد در دمای 1120°C به مدت زمان ۳۰ دقیقه درون محیط N_2/H_2 تفجوشی شدند. برای بررسی تأثیر سرعت سرمایش از دمای تفجوشی بر خواص نهایی، دو نرخ سرمایش متفاوت استفاده شد. سپس، آزمون‌های چگالی‌سنجی، بررسی‌های ریزاساختاری، شکستنگاری، سختی‌سنجی، کشش و خستگی بر روی نمونه‌های استاندارد انجام شدند. بررسی‌ها نشان داد که میزان حفره‌ها و مشخصات تخلخل تأثیر قابل توجهی بر خواص مکانیکی فولادهای مورد بررسی دارد، به طوری که افزایش حاصل ۴/۵ درصد در چگالی‌فولادهای *Distaloy DH* (با ۰/۲ درصد کربن) و *HP* به ترتیب منجر به بهبود استحکام کششی به میزان ۴۴ و ۲۶ درصد و بهبود استحکام خستگی به میزان ۵۵ و ۴۷ درصد در این فولادها شد. افزون بر این، یافته‌ها نشان دادند که نوع ریزاساختار و نحوه‌ی توزیع فازهای متالورژیکی نقش مؤثری بر خواص مکانیکی و به‌خصوص رفتار خستگی، دارند. بهترین خواص در فولاد *HP* با ۰/۵ درصد کربن و چگالی 7.2 g/cm^3 با سرعت سرمایش 1.2°C/sec پس از تفجوشی، مشاهده شد. افزون بر این، مطالعات شکستنگاری نشان دادند که سازوکارهای عمدی شکست در نواحی رشد ترک در این فولادها عبارتند از شکست انعطاف‌پذیر (دیپل)، شکست ترد کلیپاژ (رنج برگی) و تشکیل خطوط موچ.

واژه‌های کلیدی سازوکار شکست، خواص مکانیکی، فولادهای نیمه پیش آلیاژ شده.

A Study of Mechanical Properties and Fracture Mechanisms of Powder Metallurgy Parts Prepared using Semi Pre-alloyed Steels

H. Khorsand H. Abdoos M. Amirjan

Abstract

In the present study, the mechanical properties and fracture mechanisms of two powder metallurgy low alloy steels, i.e. *Distaloy DH* and *Distaloy HP*, were investigated. All samples were sintered at 1120°C for 30 min in N_2/H_2 atmosphere. For evaluation of the effect of cooling rate on final properties, samples were cooled from sintering temperature with two different cooling rates. In addition, density, hardness, and tensile and fatigue strengths of the samples were measured and microstructure and fractured surfaces were examined using standard methods. The results showed that pores characterizations, i.e. pores shape and distribution, have strong effects on the mechanical properties of sintered steels. For example, an increase in the density by 4.5% resulted in an increase in the tensile strength by 44% and fatigue strength by 55% for *Distaloy DH* steel containing 0.2% Carbon. These values for *Distaloy HP* steel were measured to be 26% and 47%, respectively. The results of experiments as well as those obtained from microstructural examinations for two investigated materials indicated that the type of microstructure and distribution of metallurgical phases affect the mechanical and fatigue behaviour of samples. *Distaloy HP* steel sample with 0.5%C and 7.2 g/cm^3 density after being cooled at 1.2°C/sec showed the best mechanical properties among all the samples investigated. Study of fractured surfaces indicated that the major mechanisms in crack growth region of the samples are ductile fracture, brittle fracture and formation of fatigue striations.

Key Words Fracture mechanism, Mechanical properties, Semi Pre-alloyed steels.

* نسخه‌ی نخست مقاله در تاریخ ۸۹/۹/۱۶ و نسخه‌ی پایانی آن در تاریخ ۹۲/۳/۲۶ به دفتر نشریه رسیده است.

(۱) استادیار گروه مهندسی مواد، دانشکده مهندسی مکانیک، دانشگاه صنعتی خواجه نصیرالدین طوسی.

(۲) نویسنده‌ی مسؤول: دانشجوی دکترا مهندسی مواد، دانشکده مهندسی مکانیک، دانشگاه صنعتی خواجه نصیرالدین طوسی

(۳) دانشجوی دکترا مهندسی مواد، دانشکده مهندسی مکانیک، دانشگاه صنعتی خواجه نصیرالدین طوسی

متصل، به دلیل وجود پیوندهای تفجوشی ضعیف بین ذرات پودر، شکست عمدتاً از طریق پارگی انعطاف‌پذیر بسیار موضعی به وقوع می‌پیوندد [7]. از این‌رو، فازهای موجود در ریزساختار و یا احیاناً تقویت آن‌ها نمی‌تواند منجر به ایجاد مقاومت در برابر شکست در این‌گونه ساختارها شود.

بسیاری از محققین، [6,5,8-10]، با انجام مطالعات تجربی نشان داده‌اند که مکان‌های مرجح برای جوانه‌زنی ترک‌ها، حفره‌ها و یا تجمع حفره‌هایی هستند که در سطح و یا نواحی نزدیک به آن واقع شده‌اند. هولمز و کوینی، [11]، پیشنهاد داده‌اند که تمرکز بالای تنش در حفره‌ها به خصوص آن‌هایی که در سطح قرار گرفته‌اند، دلیل لغزش موضعی می‌باشد، به‌گونه‌ای که جوانه‌زنی ترک را به همراه دارند. به‌طور کلی، شکل حفره‌ها از نقطه‌نظر میزان تأثیری که می‌تواند بر خواص مکانیکی داشته باشند، از اهمیت برخوردار است. حفره‌هایی با شکل‌های بی‌قاعده، تمرکز تنش و ضریب شدّت تنش بالاتری را در مقایسه با حفره‌های کروی حین اعمال نیروهای مکانیکی پدید می‌آورند [6]. افزون بر این، نقش حفره‌ها در رشد ترک نیز مهم است، به‌گونه‌ای که ترک در حال رشد بین اتصالات حفره‌ای است، مطرح شوند [12]. از این‌رو، تخریب خستگی و سایش به عنوان دو سازوکار عمدی از کارافتادگی قطعات مهندسی، از تجمع حفره‌های سطحی و یا نزدیک سطح آغاز شده و با رشد ترک در باندهای بین حفره‌ها، ادامه می‌یابد. عمر این‌گونه از نمونه‌ها به دلیل افزایش میزان کل حفره‌ها، کاهش می‌یابد. افزون بر حفره‌ها و نقش آن‌ها در شکست فولادهای متخلخل متالورژی پودر، ریزساختار این قطعات هم نقش موثر و مهمی را در این راستا ایفا می‌کند.

ریزساختار حاصل در مواد متالورژی پودر با توجه به روش آلیاژسازی، می‌تواند همگن و یا ناهمگن باشد. دیدگاه‌های متفاوتی در مورد تأثیر همگن و یا ناهمگن بودن ریزساختار بر رفتار تناوبی این مواد

مقدمه

متالورژی پودر به فرایندی گفته می‌شود که در آن، قطعه با فشرده شدن پودر فلز درون قالب و حرارت‌دهی (تفجوشی) پس از آن در دمای مناسب، تولید می‌شود. این فرایند به عنوان یک روش مهم در تولید انبوه قطعاتی با دقت ابعادی بالا مطرح است، ولی با توجه به ریزساختار متخلخل فولادهای متالورژی پودر که منجر به توزیع غیریکنواخت تنش در مناطق مختلف آن‌ها می‌شود، عوامل مختلفی بر شکست و از کارافتادگی آن‌ها با اعمال نیروهای مکانیکی مؤثرند [1,2].

بررسی خواص مکانیکی قطعات متالورژی پودر (PM) در عین پیچیدگی، توسط عوامل متعددی از قبیل مشخصه‌های تخلخل و چگونگی توزیع فازهای متالورژیکی در ریزساختار آن‌ها، تحت تأثیر قرار می‌گیرد [2]. کریستین و ژرمن، [4]، نشان داده‌اند که اندازه، شکل، فاصله‌ی جدایش و میزان تخلخل عوامل مهمی هستند که خواص مکانیکی و به خصوص رفتار خستگی فولادهای PM را متأثر می‌سازند. دو نوع متداول حفره در مواد متالورژی پودر قابل شناسایی است که شامل ریزساختارهای با حفره‌های منفرد و ریزساختارهای با حفره‌های به‌هم متصل در مقایسه با حفره‌های منفرد تأثیر بیشتری بر خواص کششی نهایی باقی می‌گذارند. در نمونه‌های متالورژی پودر حاوی کمتر از ۴ درصد تخلخل، بیشتر حفره‌ها به صورت منفرد مشاهده می‌شوند، این در حالی است که افزایش میزان حفره‌ها به بیش از ۲۰ درصد، منجر به پیدایش حفره‌های با ساختار باز و به‌هم متصل می‌شود [5]. مطالعات و بررسی‌ها نشان داده‌اند که حفره‌های منفرد نقش چشم‌گیری در تغییر شکل حجمی فولادهای متخلخل بازی می‌کنند و به‌طور مؤثر، انعطاف‌پذیری ماکروسکوپی را در مقایسه با حفره‌های باز، به دلیل افزایش نواحی شکست انعطاف‌پذیر از طریق سازوکار به‌هم پیوستن ریزحفره‌ها، افزایش می‌دهند [5,6]. از طرف دیگر، در ریزساختارهایی با حفره‌های به‌هم

به صورت موضعی و به دلیل ناهمگن بودن ترکیب شیمیایی در فولادهای دارای ریزساختار ناهمگن، ایجاد شود. از این‌رو، ایجاد موانع موضعی در ریزساختار آلیاژهای متالورژی پودر روش مناسبی برای به‌تأخیر انداختن رشد ترک و افزایش مقاومت به شکست و نیز، مقاومت به خستگی آن‌ها می‌باشد [19].

از سوی دیگر، ریزساختار فولادهای با پیوند نفوذی، به دلیل عدم نفوذ کامل در دماهای متداول تفجوشی، حاوی نواحی غنی از نیکل می‌باشند. این مناطق مستحکم و چقرمه با جلوگیری از رشد ترک‌هایی که از حفره‌ها جوانه زده‌اند، موجب بهبود و ارتقای عمر خستگی قطعاتی می‌شوند که در شرایط عمل کردی تحت بارهای تناوبی قرار دارند. مطالعات نسبتاً زیادی در ارتباط با تأثیر تفجوشی دما بالا بر رفتار خستگی انواع فولادهای متالورژی پودر انجام شده‌اند. بهبود عمر خستگی برای فولادهای همگن در اثر تفجوشی دما بالا، تقریباً برای همهٔ محققین به اثبات رسیده است، در حالی که برای ریزساختارهای ناهمگن، دماهای بالای تفجوشی باعث نفوذ بیشتر نیکل در بین ذرات می‌شود و تمایل به توقف ترک در این نواحی را کاهش می‌دهد. این اثر به گونه‌ای است که بهبود عامل شکل حفره‌ها نیز باعث جبران این کاهش نمی‌شود [20,21].

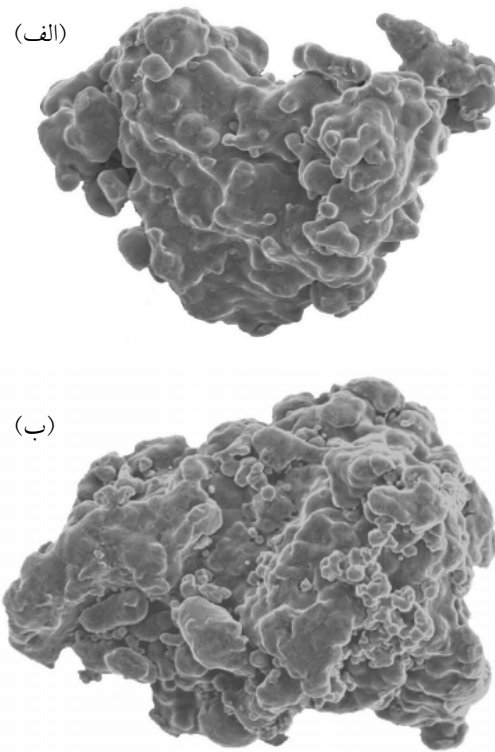
فولادهای متالورژی پودر همگن، از ترکیب فازهای یکسان در ذرات پودر و گردنۀ‌های تفجوشی تشکیل شده‌اند. به دلیل پدیده‌ی تمرکز تنش، جوانه‌زنی ترک در آن‌ها مربوط به شکست این گردنۀ‌هاست. به‌همین دلیل، این مواد به میزان تخلخل حساسند و افزایش چگالی برای خواص خستگی فولادهای همگن (Astaloy) مفید است. از طرف دیگر، مطالعات در مورد فولادهای با ریزساختار ناهمگن (Distaloy) نشان می‌دهند که گردنۀ‌های تفجوشی به‌طور مؤثری با حضور شبکه‌ی مارتنتزیتی در این نوع فولادها تقویت شده است. در این مواد، شروع ترک عموماً مربوط به شکستِ ذرات پودر پایه است، [41,18,22,23]، که دارای ریزساختار فریتی/پرلیتی یا بینیتی با تنش تسليم

وجود دارند. مطابق با دیدگاه کلاسیک، فولادهای با ساختار همگن (پیش آلیاژ شده) ترجیح داده می‌شوند. در مقابل، محققین دیگری، [13,16]، اعتقاد دارند که فازها در ریزساختار ناهمگن موجب تقویت یکدیگر (مانند مواد مرکب) شده و در نتیجه، موجب ارتقا و بهبود خواص مکانیکی و به خصوص، خواص خستگی می‌شوند. میزان این ناهمگنی به درصد کربن، دمای تفجوشی و سرعت سرد شدن پس از تفجوشی بستگی دارد [17].

ریزساختار متخلخل قطعات فولادی متالورژی پودر دلالت بر وجود تمرکز تنش اطراف حفره‌ها در طول بارگذاری دارد. گردنۀ‌های تفجوشی احاطه شده با حفره‌ها، مکان‌های ترجیحی برای جوانه‌زنی ترک در طول بارگذاری تناوبی هستند. در چند سال گذشته، روش‌های مختلفی برای تقویت گردنۀ‌های تفجوشی ارائه شده‌اند. یکی از این روش‌ها، استفاده از ریزساختار ناهمگن شامل فازهای متالورژیکی مستحکم است که در طول این گردنۀ‌ها و اطراف حفره‌ها توزیع شده‌اند. در واقع گردنۀ‌های تفجوشی می‌توانند در این روش، به‌طور مؤثر به‌وسیله‌ی یک ریزساختار شبکه‌ای با تنش تسليم بالا که در میان ذرات پودر پایه تشکیل می‌شود، تقویت شوند [18]. به عنوان مثال، یکی از مهم‌ترین عناصر آلیاژی در این گونه فولادها مس می‌باشد. مس موجود در پودرهای با باندهای نفوذی، نقش مهمی را بر عهده دارد. مس در حین تفجوشی ذوب شده و ذرات پودر را خیس می‌کند و به این ترتیب، به خوبی بر روی سطح تماس بین ذرات به‌دلیل نیروهای مویینی، توزیع می‌شود. در این حالت، پرلیت ریز و یا فاز مارتنتزیت غنی از مس تشکیل می‌شود که می‌توانند به عنوان تقویت‌کننده‌های قوی برای گردنۀ‌های تفجوشی مطرح باشند. شبکه‌ی مارتنتزیتی که از مارتنتزیت غنی از مس تشکیل شده است، همه‌ی حفره‌ها را احاطه می‌کند و در نتیجه، جوانه‌زنی و رشد ترک‌ها از این حفره‌ها در بارگذاری خستگی را محدود می‌کند [15].

افرون بر این، تغییر مُرفولوژی لغزش می‌تواند

شدند. جدول (۱)، ترکیب شیمیایی نمونه‌ها را نشان می‌دهد.



شکل ۱ مُرفولوژی ذرات پودر برگرفته از برگه‌ی مشخصات شرکت هوگانس؛ Distalloy DH (الف) و Distalloy HP (ب)

جدول ۱ ترکیب شیمیایی نمونه‌های مورد استفاده در این تحقیق

کد نمونه	نام پودر	آهن	مولیبدن	مس	نیکل	کربن
D1	Distalloy DH (D. DH)	Bal.	1/5	2	-	0/2
D2	Distalloy DH (D. DH)	Bal.	1/5	2	-	0/5
P1	Distalloy HP (D. HP)	Bal.	1/5	2	4	0/2
P2	Distalloy HP (D. HP)	Bal.	1/5	2	4	0/5

پودرهای اولیه پس از مخلوط شدن، درون قالب و با فشارهای متفاوت (برای رسیدن به چگالی‌های مختلف) فشرده شدند و نمونه‌های تخت دمیل مانند مطابق با استاندارد ISO-۳۹۲۸ تهیه شدند. تفجوشی

آستانه‌ای کم‌تر در مقایسه با مارتنتزیت می‌باشدند. بنابراین، رفتار تنایوبی فولادهای متخلخل دارای ریزساختار ناهمگن، به‌دلیل حضور فازهای مستحکم همانند بینیت یا مارتنتزیت در گردنه‌های تفجوشی، حساسیت کم‌تری نسبت به حفره‌ها دارد و بیش‌تر متأثر از ریزساختار فولاد است.

یکی از مهم‌ترین روش‌ها برای ایجاد ریزساختاری با توزیع فازهای کنترل شده، استفاده از فولادهای با پیوند نفوذی می‌باشد. آلیاژسازی نفوذی (Distaloy) شامل ایجاد باندهای آلیاژی متالورژیکی بین ذرات پودر آلیاژی کوچک و ذرات بزرگ آهنی با فرایند نفوذ در حالت جامد می‌باشد. برای این منظور، پودرهای برای تشویق ایجاد پیوند بین ذرات آهن و عناصر آلیاژی، قبل از فشردن و تفجوشی، تاب‌کاری می‌شوند [24].

با توجه به تأثیرات فوق‌الذکر، حفره‌ها به عنوان اجزای جدانشدنی فولادهای متالورژی پودر به همراه نوع و نحوه توزیع فازهای متالورژیکی، قادر به اعمال تأثیرات بسیار مهمی بر خواص مکانیکی این دسته از مواد می‌باشدند. در این تحقیق، رفتار مکانیکی دو نوع از فولادهای مطرح که از پودرهای با پیوند نفوذی ساخته شده‌اند، بررسی شده است. افزون بر این، در نظر بوده است تأثیر میزان حفره‌ها، مشخصات آنها و نحوه توزیع فازهای متالورژیکی نیز بر خواص یاد شده مورد نظر قرار گیرد.

مواد و روش آزمایش

برای انجام این تحقیق، پودرهای با باندهای نفوذی Distaloy DH و Distaloy HP انتخاب شدند. مُرفولوژی ذرات پودر به ترتیب در شکل‌های (۱-الف) و (۱-ب) ارائه شده است. توزیع اندازه‌ی ذرات برای هر دو نوع پودر به صورت مخلوطی از دانه‌های پودر با اندازه‌ی ۱۵۰ و ۴۵ میکرومتر می‌باشد. برای تولید قطعات، پودرهای مذکور با ۰/۲ و ۰/۵ درصد وزنی کربن به صورت ذرات ریز گرافیت (UF4) و ۰/۸ درصد وزنی استئارات روی به عنوان روان‌کار، مخلوط

حفره‌های موجود در ریزساختار قطعات مختلف اندازه‌گیری شد و عامل شکل حفره‌ها با استفاده از رابطه‌ی زیر محاسبه شد:

$$F = \frac{4\pi A}{P^2}$$

که در آن، A مساحت اندازه‌گیری شده‌ی حفره و P محیط حفره می‌باشد [26,27].

شکستنگاری سطوح شکست کشش و خستگی به کمک میکروسکپ الکترونی رویشی انجام شد.

نتایج و بحث

جدول‌های (۲) و (۳)، نتایج آزمون‌های تعیین چگالی، سختی، استحکام کششی، ازدیاد طول تا شکست و خستگی فولادهای مورد مطالعه را نشان می‌دهند. همان‌طور که از داده‌های موجود در این جدول‌ها معلوم است، فشار شکل دهی (چگالی)، میزان کربن و سرعت سرمایش پس از تفجوشی، از عوامل مؤثر بر خواص مکانیکی این نوع فولادها می‌باشند.

نمونه‌ها در دمای ۱۱۲۰ °C و درون محیطی حاوی مخلوط هیدروژن و نیتروژن صورت پذیرفت. به منظور بررسی سرعت سرد شدن بر خواص این نمونه‌ها، سرعت سرمایش پس از تفجوشی به میزان‌های ۰/۴ °C/sec و ۱/۲ °C/sec استاندارد ASTM-B ۳۲۸ اندازه‌گیری نمونه‌ها مطابق با استاندارد MPIF43 شد. اندازه‌گیری سختی بر اساس استاندارد ۱۴۰ مگاپاسکال انجام گرفتند. افزون بر این، نمونه‌ها برای تعیین مقاومت کششی آن‌ها، کشیده شدند. به منظور بررسی‌های ریزساختاری، نمونه‌ها پس از آماده‌سازی، به کمک میکروسکپ نوری ارزیابی شدند. برای حکاکی شیمیایی، از محلول‌های پیکرال ۴ درصد و نایتال ۲ درصد استفاده شد. خصوصیات حفره‌ها، قبل از حکاکی نمونه‌ها، با استفاده از نرم‌افزار تحلیل تصویری به دست آمد. برای این منظور، محیط و مساحت

جدول ۲ خواص مکانیکی فولاد گروه DH (Distalloy DH)

کد نمونه	سرعت سرمایش (°C/sec)	چگالی (g/cm³)	سختی ویکرز (HV5)	استحکام کششی نهایی (MPa)	درصد ازدیاد طول	استحکام خستگی (MPa)
D1	۰/۴	۷/۶	۱۱۰	۴۱۵	۱/۲	۱۴۰
D1	۰/۴	۷/۹	۱۳۱	۴۹۰	۱/۴	۱۷۱
D1	۰/۴	۷/۲	۱۷۳	۶۰۱	۲/۱	۲۱۸
D1	۱/۲	۷/۶	۱۳۵	۴۴۵	۰/۹	۱۴۸
D1	۱/۲	۷/۹	۱۶۲	۵۴۶	۰/۹	۱۹۴
D1	۱/۲	۷/۲	۲۰۱	۷۹۴	۱/۳	۲۷۱
D2	۰/۴	۷/۶	۱۴۸	۴۹۰	۱	۱۶۶
D2	۰/۴	۷/۹	۱۷۴	۵۴۱	۱/۱	۱۹۴
D2	۰/۴	۷/۲	۲۱۲	۷۶۰	۱/۴	۲۹۷
D2	۱/۲	۷/۶	۱۹۰	۵۵۴	۰/۸	۱۸۵
D2	۱/۲	۷/۹	۲۴۵	۶۲۴	۱	۲۲۸
D2	۱/۲	۷/۲	۳۱۷	۸۹۷	۱/۱	۳۷۰

جدول ۳ خواص مکانیکی فولاد گروه P(Distalloy HP)

کد نمونه	سرعت سرمایش (°C/sec)	چگالی (g/cm³)	سختی ویکرز (HV5)	استحکام کششی نهایی (MPa)	درصد از دیاد طول	استحکام خستگی (MPa)
P1	۰/۴	۷/۶	۱۲۹	۵۷۰	۱/۷	۱۷۶
P1	۰/۴	۷/۹	۱۵۸	۶۲۰	۲/۰۵	۲۱۰
P1	۰/۴	۷/۲	۱۸۷	۷۲۰	۲/۴۵	۲۵۹
P1	۱/۲	۷/۶	۱۴۱	۶۱۰	۱/۱	۱۸۶
P1	۱/۲	۷/۹	۱۷۵	۶۶۸	۱/۳	۲۲۳
P1	۱/۲	۷/۲	۲۱۹	۷۸۰	۲	۲۸۷
P2	۰/۴	۷/۶	۱۸۰	۶۰۰	۱/۵	۲۱۰
P2	۰/۴	۷/۹	۲۳۱	۸۷۰	۱/۷	۲۹۱
P2	۰/۴	۷/۲	۲۹۴	۹۸۰	۲/۱	۳۸۰
P2	۱/۲	۷/۶	۲۱۸	۷۳۰	۰/۸	۲۲۹
P2	۱/۲	۷/۹	۲۷۹	۹۷۹	۱/۰۵	۳۲۱
P2	۱/۲	۷/۲	۳۵۴	۱۱۱۰	۱/۶	۴۲۲

می باشد. به عبارت دیگر، حفره ها نقش مخرب تری بر رفتار تناوبی فولادهای متالورژی پودر در مقایسه با رفتار استاتیکی آنها ایفا می کنند. فازهای مختلفی حین تفجوشی در نتیجه های تغییرات موضعی ترکیب شیمیابی در ریزساختار نمونه ها، ایجاد می شوند. ریزساختار عمومی فولادهای مورد بررسی در شکل های (۲) و (۳) قابل مشاهده است. بررسی ریزساختاری فولادهای مورد مطالعه نشان می دهد که هر این فولادها دارای ریزساختاری ناهمگن هستند. فازهای متالورژیکی مختلف که نمایان گر وجود تفاوت غلظت عناصر آلیاژی در نقاط مختلف ریزساختارند، در این تصاویر قبل رویت می باشند. برای مثال، ریزساختار فولادهای گروه D متشکل از مارتنتزیت، بینیت و مقدار کمی پرلیت می باشد. افزون بر این، ریزساختاری شامل مارتنتزیت، بینیت و آستنیت باقی مانده، برای فولادهای گروه P قابل مشاهده است. مس موجود در پورهای با بندهای نفوذی، نقش مهمی را بر عهده دارد. مس حین

در مورد تأثیر چگالی بر خواص مکانیکی می توان گفت که بهبود خواص مکانیکی با افزایش چگالی مشهود بوده است. حفره ها نقش دوگانه ای را بازی می کنند. تأثیر آنها به عنوان نقاط مستعد برای جوانه زنی و رشد ترک اهمیت دارد. بررسی نتایج تجربی نشان می دهند که با افزایش چگالی از g/cm^3 ۶/۹ به g/cm^3 ۷/۲ در فولاد D.DH با $0/5$ درصد وزنی کردن و سرعت سرمایش $1/2\ ^\circ C/sec$ ، سختی، استحکام کششی و استحکام خستگی هر یک به ترتیب 61 و 100 درصد افزایش می یابند و این موضوع اهمیت تأثیر چگالی حتی به میزان کم ($4/5$ درصد) بر خواص مکانیکی نمونه های متخلف را نشان می دهد. در سایر موارد نیز وضعیتی مشابه برقرار است. نکته دیگر این است که افزایش چگالی که با کاهش میزان حفره ها همراه است، تأثیر بیشتری بر استحکام خستگی در مقایسه با استحکام کششی داشته است. این موضوع نشان گر نقش متفاوت حفره ها در شکست های ناشی از نیروهای استاتیکی و دینامیکی

[28-30]. ترک‌ها حین برخورد با آستنیت غنی از نیکل متوقف شده و یا آنرا دور می‌زنند، به‌گونه‌ای که در هر دو حالت، رشد ترک با تأخیر مواجه می‌شود. بنابراین، ایجاد موضع مخصوصی در ریزساختار آلیاژهای با پیوند نفوذی، عامل مهمی در به‌تأخر انداختن رشد ترک خستگی و افزایش عمر قطعات ساخته شده از این نوع پودرهای می‌باشد. باید توجه داشت که وجود نیکل در ریزساختار و انتخاب صحیح دما و زمان تف‌جوشی و نیز، سرعت سرمایش مناسب، می‌توانند ریزساختار ناهمگن با توزیع مناسبی را پدید آورند که ارتقای خواص مکانیکی و به‌خصوص خستگی را به‌دبیال دارد. افزون بر این، با توجه به ناحیه‌ی مومسان در رأس ترک، احتمال وقوع استحاله‌ی آستنیت به مارتزیت در نوک ترک در حال رشد در منطقه‌ی آستنیتی تقویت می‌شود. این پدیده موجب صرف مقداری از انرژی ترک می‌شود، به‌گونه‌ای که دیگر نمی‌تواند برای جوانه‌زنی و رشد استفاده شود. هاو، [31]، در تحقیق خود افزون بر اذعان به نقش مغاید مناطق غنی از نیکل در توقف ترک‌های خستگی، با بررسی ناحیه‌ی رأس ترک‌های متوقف شده توسط میکروسکوب الکترونی عبوری (TEM)، وجود صفحه‌های مارتزیت که از تغییر شکل آستنیت به وجود آمده‌اند را تأیید می‌کند.

تف‌جوشی ذوب می‌شود و ذرات پودر را خیس می‌کند و به‌این ترتیب، به‌خوبی بر روی سطح تماس بین ذرات، به‌دلیل نیروهای مویینگی، توزیع می‌شود. در این حالت، پرلیت ریز و یا فاز مارتزیت غنی از مس تشکیل می‌شود. این ریزساختار، تقویت‌کننده‌ای قوی برای گردنه‌های تف‌جوشی می‌باشد. شبکه‌ی مارتزیتی که از مارتزیت غنی از مس تشکیل شده است، عموماً حفره‌ها را احاطه می‌کند و در نتیجه، جوانه‌زنی و رشد ترک‌ها تحت بارگذاری خستگی را از این حفره‌ها محدود می‌کند [15].

بارگذاری مکانیکی در فصل مشترک بین فازهای مستحکم (مانند مارتزیت) و فاز یا مخلوط‌های فازی با استحکام کم‌تر (مانند بینیت و پرلیت)، منجر به تمکر موضعی تغییر شکل مومسان در این مکان‌ها می‌شود و این رشد ترک از این مسیرها را به‌دبیال دارد. مطالعات ریزساختاری نشان می‌دهند که مسیر ترک برای فولادهای Distaloy HP عمدها در فصل مشترک بین فاز بینیت و مارتزیت قرار دارد. چند ترک کوتاه در نمونه‌های نوع Distaloy HP مشاهده شده‌اند. در برخی از موارد، توقف ترک در نتیجه‌ی برخورد آن به فاز آستنیت باقی‌مانده مارتزیت شد. اثر نواحی آستنیت غنی از نیکل در توقف ترک‌های خستگی توسط سایر محققین نیز مشاهده و تأیید شده است



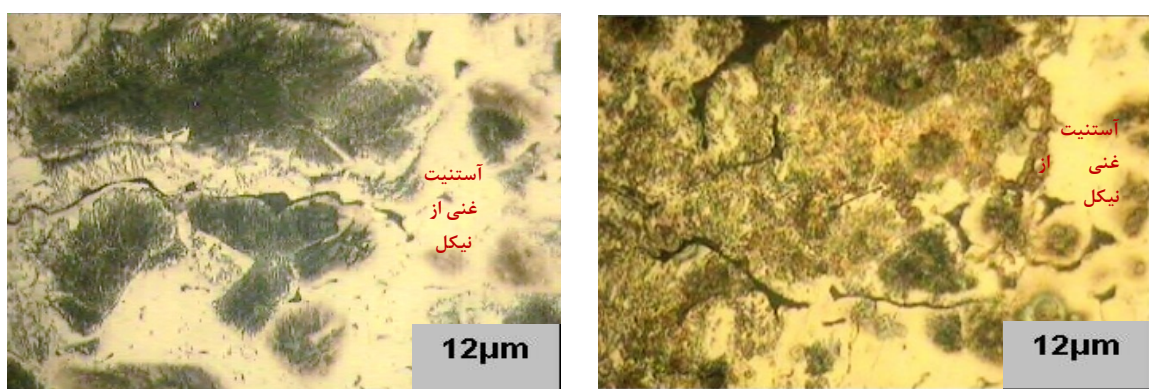
شکل ۲ ریزساختار کلی فولاد D



شکل ۳ ریزساختار کلی فولاد P



شکل ۴ ریزترک مشاهده شده در ساختار فولاد D.HP و توقف آن در ناحیه‌ی آستانیت



شکل ۵ ریزترک‌های مشاهده شده در فولاد D.HP همراه با نواحی آستانیتی غنی از نیکل

فوق الذکر و وجود نواحی آستانیت باقی مانده و در نتیجه، نقش مناطق چقرمه‌ی نیکل در توقف و یا احياناً انحراف مسیر ترک‌ها مرتبط دانست. افزون بر این، مقایسه‌ی نتایج آزمون‌های تجربی

مقایسه‌ی استحکام خستگی فولاد D.HP با فولاد D.DH در این تحقیق، بالاتر بودن استحکام خستگی فولاد D.HP را نشان می‌دهد. دلیل این رفتار را می‌توان تا حد زیادی به حضور نیکل در ریزساختار فولاد

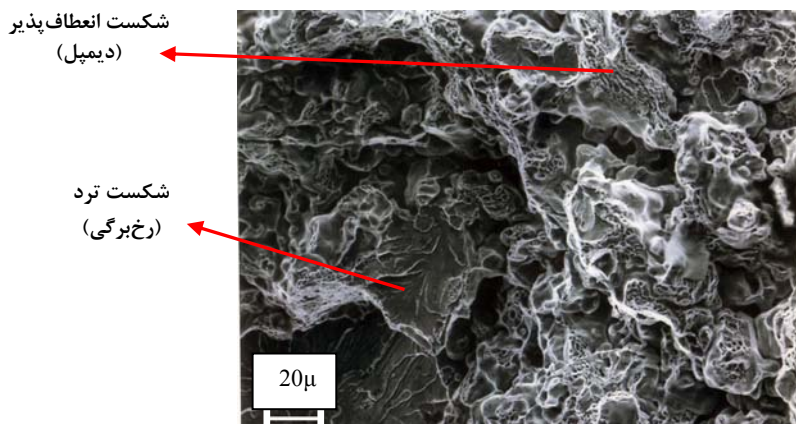
می‌توان با ایجاد تغییر در مُرفولوژی حفره‌ها، مانند افزایش فشار شکل‌دهی، انتخاب مناسب دما و زمان تفجوشی، تفجوشی حالت مایع و انتخاب مناسب اندازه‌ی ذرات دانه‌های پودر اولیه و سایر تغییرات، خواص مکانیکی را ارتقاء بخشد.

نتایج مشخصه‌یابی حفره‌ها در نمونه‌های تحت در جدول (۴) نمایش داده شده‌اند. لازم به ذکر است که این نتایج از تحلیل تصویری ریزساختار قطعات قبل از حکاکی به دست آمده‌اند. عامل شکل حفره‌ها (F) مقداری بین ۰ و ۱ دارد. مقدار صفر نشان‌دهنده‌ی شکل کاملاً بی‌قاعده و مقدار یک نشان‌گر شکل حفره‌ی کاملاً کروی است. نمونه‌هایی با کمترین میزان چگالی، به دلیل وجود تخلخل زیاد و ساختار به‌هم متصل و پیوسته‌ی حفره‌ها و نیز، حفره‌های گوشه‌تیز که به عنوان نقاط جوانه‌زنی ترک‌ها عمل می‌کنند، دارای استحکام خستگی بسیار کمی هستند. بررسی نتایج مشخصه‌یابی تخلخل نشان می‌دهد که با افزایش چگالی، عامل شکل حفره‌ها (نظم حفره) افزایش، اندازه‌ی متوسط حفره‌ها کاهش و فاصله‌ی متوسط حفره‌ها کاهش می‌یابد. همه‌ی این عوامل، شامل کروی‌تر شدن حفره‌ها و کوچک شدن اندازه و فاصله‌ی متوسط آن‌ها، باعث بهبود خواص مکانیکی می‌شوند.

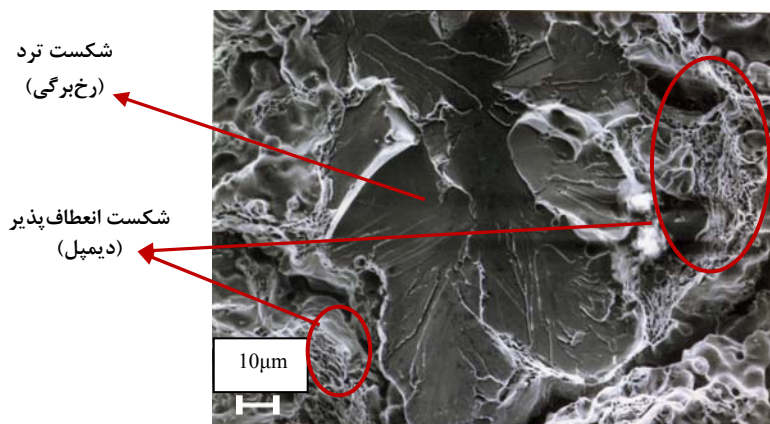
مربط به خواص مکانیکی فولادهای مورد مطالعه که دارای چگالی‌های متفاوت بوده‌اند و با سرعت‌های مختلف سرد شده‌اند، نشان می‌دهد که در میزان پایین تخلخل فازهای متالورژیکی نقش مؤثرتری در بهبود خواص مکانیکی ایفا می‌کنند، در صورتی که در درصد بالای تخلخل (چگالی‌های کم) و به دلیل آن‌که پیش‌روی ترک عمده‌ای به وسیله‌ی حفره‌ها انجام می‌شود، بهینه‌سازی خواص فازهای زمینه عملاً نمی‌تواند نقش مؤثری را ایفا کند. برای مثال، میزان افزایش استحکام خستگی فولاد D.DH با ۰/۲ درصد کردن و چگالی $6/6 \text{ g/cm}^3$ با ازدیاد سرعت سرمایش حدود ۶ درصد بهبود می‌یابد، در حالی‌که این بهبود برای چگالی $7/2 \text{ g/cm}^3$ در حدود ۲۴ درصد است. بنابراین، اگر عملیات حرارتی بر روی فولادهای با چگالی بالاتر انجام گیرد، مسلماً تأثیر بیشتری بر خواص مکانیکی خواهد داشت. به عبارت دیگر، در فولادهای متخلخل با چگالی‌های کم، حفره‌ها عامل کترل‌کننده‌ی رشد ترک هستند و ریزساختار نقش مهمی بازی نمی‌کند. در مقابل، برای فولادهای با چگالی بالاتر، ریزساختار در این شرایط به روش‌های مختلف مانند عملیات حرارتی، آلیاژسازی و تفجوشی مناسب، بر خواص نهایی مؤثر خواهد بود. بر عکس، در چگالی‌های کم

جدول ۴ نتایج آزمون مشخصه‌یابی حفره‌ها در فولادهای مورد مطالعه

کد نمونه	چگالی (g/cm ³)	عامل شکل	اندازه‌ی میانگین حفره‌ها (μm)	فاصله‌ی میانگین حفره‌ها (μm)
D2	۶/۶	۰/۳۷	۲۲	۱۰۰/۶۵
D2	۶/۹	۰/۴۰	۱۴	۷۴/۷۴
D2	۷/۲	۰/۴۶	۱۰	۶۲/۶۴
P2	۶/۶	۰/۴۰	۲۱	۹۰/۹۷
P2	۶/۹	۰/۴۴	۱۲	۶۴/۰۸
P2	۷/۲	۰/۴۹	۱۰	۶۲/۶۰



شکل ۶ شکست انعطاف‌پذیر و ترد در فولاد متالورژی پودر گروه P2



شکل ۷ شکست انعطاف‌پذیر و ترد در فولاد متالورژی پودر گروه D2

می‌شود. وجود دیمپل از مشخصه‌های بارز شکست نرم در این نواحی است. شکست ترد کلیواژ (رخ برگی) در اثر فرورفتگی بیش از حد حفره در ذرات پودر پایه به وجود می‌آید. در این حالت به دلیل تمرکز ایجاد شده، ترک به جای این‌که دانه‌ی پودر را دور بزند، راحت‌تر است که مسیر داخل ذره‌ی پودر را بیپماید. وجود صفحه‌های رخ برگی نشانه‌ی آشکاری از شکست ترد ذرات پودر است. نمونه‌هایی از این نوع شکست در شکل‌های (۶) و (۷) قابل مشاهده‌اند. این دو نوع شکست در سطوح خستگی و شکست فولادهای تف‌جوشی شده قابل مشاهده می‌باشند. مشاهده خاطوط موّاج در فولادهای تف‌جوشی شده تحت

به منظور بررسی سطوح شکست نمونه‌های مورد مطالعه، تصویرهای مختلفی با استفاده از میکروسکپ الکترونی رویشی تهیه شد. این تصویرها نشان‌دهنده‌ی شکست‌هایی شامل شکست انعطاف‌پذیر (Ductile Fracture)، ترد کلیواژ (Cleavage Fracture) و نیز، خطوط موّاج (Striation) می‌باشند. مهم‌ترین سازوکار اشعه‌ی ترک به خصوص در قطعاتی با چگالی کم، حرکت ترک از مسیر مرز ذرات پودر، به هم پیوستن حفره‌ها، افزایش طول ترک و نهایتاً، شکست قطعه بوده است. با قطع گردن‌های تف‌جوشی، شکست انعطاف‌پذیر که ناشی از تغییر شکل مومسان ایجاد شده در این نواحی و بهم پیوستن حفره‌هاست، مشاهده

افزایش یافتند.

۲- تأثیر افزایش چگالی بر بهبود استحکام خستگی در مقایسه با استحکام کششی به مراتب بیشتر بود، به طوری که با افزایش چگالی از $6/9 \text{ g/cm}^3$ به $7/2 \text{ g/cm}^3$ در فولاد D.DH با $0/5$ درصد کربن و سرعت سرمایش $1/2^\circ\text{C/sec}$ ، سختی، استحکام کششی و استحکام خستگی به ترتیب 61 ، 62 و 100 درصد افزایش یافتند. این واقعیت مؤید نقش متفاوت حفره‌ها در تخریب‌های حاصل از اعمال نیروهای استاتیکی و دینامیکی است و نقش مؤثرتر آن‌ها را در بارگذاری‌های تکرارپذیر نشان می‌دهد.

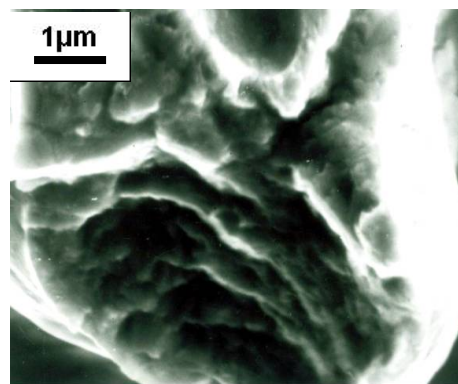
۳- بهبود خواص قطعات و خواص فازهای متالورژیکی در نتیجه‌ی افزایش سرعت سرمایش، در چگالی‌های بالاتر مشهودتر بود.

۴- نتایج حاصل از مشخصه‌یابی فولادهای مورد مطالعه نشان دادند که افزایش چگالی، افزایش عامل شکل، کاهش اندازه‌ی متوسط دانه‌ها و کاهش فاصله‌ی متوسط بین آن‌ها را به دنبال می‌آورد.

۵- وجود عنصر نیکل در ترکیب شیمیایی فولاد D.HP، تشکیل مناطق آستینیتی را پس از تفجوشی در ریزساختار به دنبال دارد. وجود این مناطق چقرمه با نقش متوقف‌کننده یا کندکننده‌ی حرکت ترک‌ها، منجر به بهبود خواص خستگی این فولاد در مقایسه با فولاد D.DH شده است.

۶- سه سازوکار شکست در ناحیه‌ی رشد ترک مشاهده شد که عبارت بودند از: شکست انعطاف‌پذیر (دیمپل) گردنه‌های تفجوشی، شکست ترد کلیواژ (رخ برگی) دانه‌های پودر پایه و تشکیل خطوط مواج.

نیروهای تناوبی، سخت ولی ممکن است. این علاوه‌به ناچیه‌ی خستگی سیکل بالا و به دلیل حضور تخلخل به صورت موضعی، مشاهده می‌شوند. محققان، [3,10]، به تشکیل خطوط مواج به دلیل کرنش مومسان در رأس ترک خستگی در مواد تفجوشی شده به صورت موضعی اعتقاد دارند. آن‌ها افزون بر این، مشاهده‌ی این خطوط را به دلیل طبیعت تناوبی رشد ترک خستگی می‌دانند. شکل (۸) این خطوط مواج موضعی را نشان می‌دهد.



شکل ۸ نمونه‌ای از خطوط مواج مشاهده شده در سطح شکست نمونه‌های تحت بارگذاری خستگی

نتیجه‌گیری

در این تحقیق، خواص مکانیکی و سازوکار شکست دو نوع فولاد متالورژی پودر با باند نفوذی Distaloy HP و Distaloy DH بررسی شد و تأثیر سرعت سرمایش از دمای تفجوشی بر خواص نهایی مطالعه شد. یافته‌ها نشان دادند که:

۱- با افزایش چگالی از $6/9 \text{ g/cm}^3$ به $7/2 \text{ g/cm}^3$ در فولاد D.HP با $0/5$ درصد وزنی کربن و سرعت سرمایش $1/2^\circ\text{C/sec}$ ، سختی، استحکام کششی و خستگی به ترتیب به میزان تقریبی 62 و 84 درصد

مراجع

- Skoglund P., Bengtsson S., "Materials For Highly Loaded Parts Such as Connecting Rod", PM2000 Conference, Kyoto, Japan, (2001).

2. Gregg Bruce R., Dalton W.K., "Modern Materials and Manufacturing Processes", Chapter 11, pp. 225-233, Third Edition, (2004).
3. Chawla N., Polasik S., Narasimhan K.S., Koopman M., Chawla K.K., "Fatigue Behavior of Binder-Treated Powder Metallurgy Steels", Int. J. of Powder Met., 37, pp. 49- 57, (2001).
4. Christian K.D., German R.M., "Relation Between Pore Structure and Fatigue Behavior in Sintered Iron-Copper-Carbon", Int. J. of Powder Met., 31 (1), pp. 51-61, (1995).
5. Danninger H., Spoljaric D., Weiss B., "Microstructural Features Limiting the Performance of P/M Steels", The Int.J. of Powder Met., 33(4), pp. 43-53, (1997).
6. Lindstedt U., Karlsson B., Masini R., "Influence of Porosity on Deformation and Fatigue Behavior of P/M Austenitic Stainless Steels", The Int. J. of Powder Met., 33(8), pp. 49-61, (1997).
7. Khorsand H., "The Investigation of Microstructural Characteristics Effect on Periodic Behavior of Powder Metallurgical Steels" Ph.D Thesis, Material Science and Engineering Department, Sharif University of Technology, Tehran, Iran, (2002).
8. Gerard D.A., Koss D.K., "Low Cycle Fatigue Crack Initiation: Modeling the Effect of Porosity", Int. J. of Powder Met., 26(4), pp. 337-343, (1990).
9. Sudhakar K.V., "Fatigue Behavior of a High Density Powder Metallurgy Steel", Int. J. of Fatigue, 22, pp. 729-734, (2000).
10. Drar H., "Metallographic and Fractographic Examination of Fatigue Loaded PM-Steel with and without MnS Additive", Mat. Characterization, 45, pp. 211-220, (2000).
11. Holmes J., Queeney R.A., "Fatigue Crack Initiation in a Porous Steel", Powder Met., 28(4), pp. 231-235, (1985).
12. Gerard D.A., Koss D.A., "Porosity and Crack Initiation during Low Cycle Fatigue", Mat. Sci. and Eng. A, 129, pp. 77-85, (1990).
13. Saritas S., Causton R. and et al., "Effect of Microstructural Inhomogeneities on the Fatigue Crack Growth Response of a Prealloyed and Two Hybrid PM Steels", Powder Met. World Congress & Exhibition, Florada, USA, (2002).
14. Alzati L., Bergmark A., Andersson J., "Microstructural Reinforcement Obtained by Diffusion Bonding", PM TEC Conference, Montreal, Canada, (2005).
15. Bergman O., Bergmark A., "Influence of Microstructure on The Fatigue Performance of PM Steel", PM TEC Conference, Las Vegas, USA, (2003).
16. Alzati L., Bergmark A., "Diffusion Alloyed Powders With High Fatigue Performance in as-Sintered State", PM World Conference, Vienna, Austria, (2004).
17. Chagnon F., Tremblay L., "Effect of Post-Sintering Cooling Rate on Properties of Diffusion Bonded Steel Materials", Euro PM Conference Proceeding, 3, p.203-208, (2004).

18. Alzati L., Bergmark A., Andersson J., "Fatigue Performance of PM Steel in as-Sintered State", PM AI Congress, Mumbai, India, (2005).
19. Chawla N., Morphy T.F. and et al., "Axial Fatigue Behavior of Binder-Treated Versus Diffusion Alloyed Powder Metallurgy Steel", Mat Sci. and Eng. A, 308, pp.180-188, (2001).
20. Chawla N., Babic D., Williams J.J., "Effect of Copper and Nickel Alloying Additions on the Tensile and Fatigue Behavior of Sintered Steel", PMTEC2 conference, Las Vegas, USA, (2003).
21. "Tiny Clues in the Quest for Better Fatigue Strength", Technical Trend, Metal Powder Report, 2004.
22. Hardboletz A., Weiss B., "Fatigue Behavior of Iron Based Sintered Material: A Review", Int. Mat. Rev., 42(1), pp. 1-44, (1997).
23. Bergmark A., Alzati L., Persson U., "Fatigue Crack Initiation in PM Steel", PMTEC Powder Met. World Congress, MPIF, Orlando, USA, (2002).
24. Lindskog P., Skoglund G., "Alloying Practice in the Production of Sintered Steel", European PM Conference, (1971).
25. Hoganas Co. website, (www.Hoganas.com) Hoganas Handbook, Sintered Components, Iron and Steel Powders for Sintered Components, Overview of Powder Grades, Diffusion Alloyed Grades.
26. Christian D., German R.M., " Relation Between Pore Structure and Fatigue Behavior in Sintered Iron-Copper-Carbon", Int. J. of Powder Met., 31, p.p 51-59, (1995).
27. Cimino T., Geraham A.H. and et al., "The Effect of Microstructure and Pore Morphology on Mechanical and Dynamic Properties of Ferrous PM Materials", PMTEC2, International Conference on Powder Metallurgy & Particulate Materials, Canada, (1999).
28. Trudel Y., Angers R., "Modern Development in Powder Metallurgy", 6, Princeton, NJ, MPIF, pp.305, (1974).
29. Abdoos H., Khorsand H., Shahani A.R. "Fatigue Behavior of Diffusion Bonded Powder Metallurgy Steel with Heterogeneous Microstructure", J. Mat & Design, 30 (4), pp. 1026-1031, (2009).
30. Abdoos H., Shahani H., Khorsand A.R, "Investigation of Tensile Mean Stress Effect on Fatigue Behavior of Porous Sintered Ni Steel", Int. J of Eng. Sci., Iran Science and Technology University, 19 (10), pp. 209-220, (2008).
31. Huo C.Y., Gao H.L., "Strain-Induced Martensitic Transformation in Fatigue Crack Tip Zone for a High Strenght Steel", Mat. Characterization, 55, pp.12-18, (2005).

